

Prowadzący instalację:

P4 Sp. z o. o.
ul. Wynalazek 1
02-677 Warszawa

Gdańsk, 2024-04-30

Adres do korespondencji:

P4 Sp. z o. o.
ul. Arkońska 6, bud A3,
80-387 Gdańsk

Starosta Piski

**Wydział Rolnictwa, Leśnictwa, Rybactwa
Śródlądowego, Ochrony Środowiska i
Gospodarki Wodnej**

ZGŁOSZENIE

organowi ochrony środowiska instalacji PIS0103A, z której emisja nie wymaga pozwolenia

dotyczy: zgłoszenia instalacji PIS0103A.

Podstawa prawna: ustawa z dnia 27 kwietnia 2001 r. Prawo ochrony środowiska, art. 152, ust 1 i ust. 2

Zgodnie z art. 152 ust. 2 – niniejsze zgłoszenie zawiera następujące dane:

1) Oznaczenie prowadzącego instalację, jego adres zamieszkania lub siedziby.

P4 Sp. z o.o., ul. Wynalazek 1, 02-677 Warszawa

2) Adres zakładu, na którego terenie prowadzona jest eksploatacja instalacji.

12-230 Biała Piska, Sikorskiego 22, dz. nr 271/9, gm. Biała Piska, pow. piski

3) Rodzaj i zakres prowadzonej działalności, w tym wielkość produkcji lub wielkość świadczonych usług.

Usługi telekomunikacyjne, transmisja danych: 1TB/doba.

4) Czas funkcjonowania instalacji (dni tygodnia i godziny).

Dni tygodnia: poniedziałek, wtorek, środa, czwartek, piątek, sobota, niedziela.

Godziny: od 00.00 do 24.00.

5) Wielkość i rodzaj emisji.

| L.p. | Nazwa anteny ¹ | Wysokość [m n.p.t] | Rodzaj emisji | Równoważna moc promieniowana izotropowo | Azymut | Kąt pochylenia | Częstotliwość |
|------|---------------------------|-----------------------|------------------|--|--------|-------------------|----------------|
| 1 | 12_GHLNT | 53,2 | PEM | 1986 W | 20° | 0-6° | 900 MHz |
| 2 | 23_GT | 53,2 | PEM | 1982 W | 130° | 0-6° | 900 MHz |
| 3 | 32_GHLNT | 53,2 | PEM | 1986 W | 260° | 0-6° | 900 MHz |
| 4 | RL1 | 51 | PEM | 8822 W | 326° | | 80 GHz, 23 GHz |

6) Opis stosowanych metod ograniczania wielkości emisji.

Nie jest wymagane ograniczenie wielkości emisji.

7) Informacja, czy stopień ograniczania wielkości emisji jest zgodny z obowiązującymi przepisami.

Stopień ograniczenia wielkości emisji jest zgodny z obowiązującymi przepisami.

8) (uchylony)

-/-

9) Sprawozdanie z wykonanych pomiarów poziomów pól EM, o których mowa w art. 122a ust. 1 pkt 1.

Sprawozdanie nr 29/04/OŚ/2024-P4 z dnia , Nr akredytacji PCA – AB 1630.

Koordynator OŚ

Signature Not Verified

Dokument podpisany przez

Data: 2024.04.30 13:44:37 CEST

¹ Każdy wiersz tabeli odpowiada pojedynczej antenie skojarzonej z nadajnikiem. Pojedyncza antena jest urządzeniem emitującym do środowiska energię w postaci fali elektromagnetycznej w określonym paśmie częstotliwości. W jednej obudowie może znajdować się wiele pojedynczych anten.

Sprawozdanie z pomiarów pól elektromagnetycznych - środowisko
nr 29/04/OŚ/2024-P4



| | | | |
|-------------------|--|--------------------------|--|
| Nr i nazwa stacji | PIS0103A | | |
| Adres | Biała Piska, Sikorskiego 22, dz. nr 271/9, pow. piski, woj. warmińsko-mazurskie | | |
| Opracowanie | | Specjalista ds. pomiarów | |
| Autoryzacja | | Kierownik Laboratorium | |
| Podpis | Signature Not Verified Dokument podpisany przez  Laboratorium EMVO Data: 2024.04.29 14:08:53 CEST  | | |
| Data | 2024-04-29 | | |

Spis treści

| | |
|--|---|
| 1. Informacje ogólne. | 3 |
| 2. Podstawa prawna. | 3 |
| 3. Opis pomiarów | 3 |
| 4. Zróżnicowanie dopuszczalne poziomy pól elektromagnetycznych. | 5 |
| 5. Charakterystyka źródeł PEM. | 5 |
| 6. Wyniki pomiarów. | 6 |
| 7. Stwierdzenie zgodności | 7 |
| 8. Oświadczenie. | 7 |
| 9. Spis załączników. | 7 |

1. Informacje ogólne.

| | |
|---|--|
| Zleceniodawca – podmiot udzielający informacji | P4 Sp. z o.o., ul. Wynałazek 1, 02-677 Warszawa |
| Istotne informacje dostarczone przez klienta | komplet informacji niezbędnych do wykonania pomiarów i opracowania sprawozdania |
| Dane otrzymane od klienta mogące mieć wpływ na ważność wyników | dane anten sektorowych, dane anten radioliniowych, parametry pracy instalacji, ustawienie pochylenia anten |
| Prowadzący instalację | P4 sp. z o.o., ul. Wynałazek 1, 02-677 Warszawa |
| Lokalizacja obiektu | Biała Piska, Sikorskiego 22, dz. nr 271/9, pow. piski, woj. warmińsko-mazurskie |
| Miejsce instalacji anten | wieża kratowa |
| Miejsce instalacji urządzeń | outdoor |
| Osoby wykonujące pomiar | |
| Data wykonania pomiaru | 29.04.2024 |
| Temperatura na początku pomiaru [°C] | 28 |
| Temperatura na koniec pomiaru [°C] | 29 |
| Warunki atmosferyczne | brak opadów |
| Wilgotność na początku pomiaru [%] | 48 |
| Wilgotność na koniec pomiaru [%] | 46 |
| Godzina rozpoczęcia pomiaru | 10.03 |
| Godzina zakończenia pomiaru | 11.29 |
| Inne źródła pól elektromagnetycznych oznaczone na załączniku graficznym | występują |
| Parametry pracy instalacji | tryb eksploatacyjny |

2. Podstawa prawna.

2.1 Normy i rozporządzenia:

- Ustawa z dnia 27 kwietnia 2001 r. Prawo Ochrony Środowiska (Dz.U. 2022 poz. 2556)
- Rozporządzenie Ministra Zdrowia z dnia 17 grudnia 2019 r. w sprawie dopuszczalnych poziomów pól elektromagnetycznych w środowisku (Dz.U. 2019 poz. 2448)
- Rozporządzenie Ministra Klimatu z dnia 17.02.2020 r. w sprawie sposobów sprawdzania dotrzymania dopuszczalnych poziomów pól elektromagnetycznych w środowisku (Dz.U. 2022 poz. 2630)

3. Opis pomiarów

| | |
|-----------------------|---|
| Metodologia pomiarowa | Pomiary w oparciu o Rozporządzenie Ministra Klimatu z dnia 17 lutego 2020 r. w sprawie sposobów sprawdzania dotrzymania dopuszczalnych poziomów pól elektromagnetycznych w środowisku (Dz.U. 2022 poz. 2630). |
| Cel badań | Określenie wartości natężenia pola elektrycznego w miejscach dostępnych dla ludności. |

| | |
|-----------------------------------|---|
| Opis zestawu pomiarowego | <p>Miernik Narda NBM 550 nr F-0303 - 01/WL, Sonda EF6092 nr A-0061 - 02WL, o zakresie pomiarowym 0,7 V/m – 300V/m pracująca w paśmie 0,1 – 90 GHz, świadectwo wydane przez Laboratorium Wzorców i Metrologii Pola Elektromagnetycznego, Instytut Telekomunikacji, Teleinformatyki i Akustyki Politechniki Wrocławskiej. Świadectwo wzorcowania LWiMP/W/161/22 ważne do 10.06.2024 r.</p> |
| Wypożyczenie pomocnicze | <p>Miernik Narda NBM 550, Sonda EF-6092 pracująca w zakresie temperatury -10°C - +50°C oraz wilgotności 5% - 95%. Niepewność rozszerzona wynosi 56,6% przy poziomie ufności 95% z uwzględnieniem współczynnika rozszerzenia k=2.</p> <p>Termohigrometr BESTONE nr BE807 EF1222013 - WL/07. Sprawdzany okresowo.</p> <p>Dalmierz laserowy BOSCH Professional GLM 40 nr 328411710 - WL/60. Sprawdzany okresowo.</p> <p>GPS Garmin 65 nr 6QA008957 - WL/54. Sprawdzany okresowo w punktach osnowy geodezyjnej, zgodnie z procedurą laboratorium PZ-6.5 sprawdzanie wewnętrzne WL.</p> |
| Pomiary zostały wykonane | <ol style="list-style-type: none"> 1. na głównych i pomocniczych kierunkach pomiarowych, na kierunkach zbliżonych do azymutów anten oraz w dodatkowych pionach pomiarowych zgodnie z wymaganiami pkt 12, 13, 14 i 19 Rozporządzenia Ministra Klimatu z dnia 17 lutego 2020 r. (Dz.U. 2022 poz. 2630). Wybór i lokalizacja pionów pomiarowych, w tym znajdujących się wewnątrz lokali, zostały ustalone zgodnie z procedurą laboratorium nr PP-7.3/7.4/7.5-11, z uwzględnieniem: rodzaju badanej instalacji (w tym parametrów technicznych instalacji), lokalizacji badanej instalacji, ukształtowania terenu wokół badanej instalacji. 2. na obszarze pomiarowym, dla którego, na podstawie uprzednio przeprowadzonych obliczeń stwierdzono w miejscach dostępnych dla ludności występowanie pól elektromagnetycznych o najwyższym poziomie, które pochodzą z badanej instalacji zgodnie z wymaganiami pkt 5 ppkt 2 oraz pkt 13 ppkt 1 Rozporządzenia Ministra Klimatu z dnia 17 lutego 2020 r. w sprawie sposobów sprawdzania dotrzymania dopuszczalnych poziomów pól elektromagnetycznych w środowisku (Dz.U. 2022 poz. 2630). Wyniki obliczeń nie uwzględniały parametrów pracy instalacji innych operatorów występujących na obiekcie bądź w obszarze pomiarowym. 3. w miejscach dostępnych dla ludności. 4. miejsca niedostępne podczas wykonywania pomiarów wskazane zostały w pkt 6 (tabeli wyniki pomiarów). 5. w dodatkowych pionach pomiarowych w lokalach oraz na balkonach i tarasach, na których mogą przebywać ludzie, po poinformowaniu o planowanych pomiarach z minimum 3-dniowym wyprzedzeniem i po umożliwieniu dostępu do lokalu, balkonu lub tarasu przez jego dysponenta lub bez zachowania terminu wskazanego w pierwszej części zdania za zgodą dysponenta przestrzeni pomiarowej. |
| Sposób powiadamiania dysponentów | <p>Zgodnie z pkt 14 Rozporządzenia Ministra Klimatu z dnia 17 lutego 2020 r. w sprawie sposobów sprawdzania dotrzymania dopuszczalnych poziomów pól elektromagnetycznych w środowisku (Dz.U. 2022 poz. 2630) poinformowano dysponentów lokali o planowanych pomiarach.</p> <p>Informacji dokonano między innymi poprzez:</p> <ol style="list-style-type: none"> 1. bloki mieszkalne – zawiadomienie spółdzielni mieszkaniowej, zarządcy nieruchomości, zarządu wspólnoty, umieszczenie informacji o planowanych pomiarach na tablicach ogłoszeń w klatkach schodowych bloków lub na drzwiach wejściowych, 2. biurowce, budynki użyteczności publicznej itp. - przekazanie zawiadomienia do administracji lub recepcji obiektu, 3. domy jednorodzinne, szeregowce itp.- pozostawienie informacji w skrzynkach pocztowych itp. lub przekazanie osobiste. |
| Warunki pracy urządzeń nadawczych | <p>Tryb pracy eksploatacyjny.</p> |

4. Zróżnicowanie dopuszczalne poziomy pól elektromagnetycznych.

Zakresy znajdują się w Dzienniku Ustaw z dnia 17 grudnia 2019 r. przedstawione są w tabeli nr 2 (Dz. U. z 2019r. poz. 2448).

| Zakres częstotliwości pola elektromagnetycznego | Parametr fizyczny | | |
|--|---------------------------------|---------------------------------|---------------------------------------|
| | Składowa elektryczna E (V/m) | Składowa magnetyczna H (A/m) | Gęstość mocy S (W/m ²) |
| od 400 MHz do 2000 MHz | $1,375 \times f^{0,5}$ | $0,0037 \times f^{0,5}$ | $f / 200$ |
| od 2 GHz do 300 GHz | 61 | 0,16 | 10 |

5. Charakterystyka źródeł PEM.

Zgodnie z informacją otrzymaną od klienta pomiary zostały wykonane przy ustawieniach pochylenia anten zgodnych z pkt. 13, ppkt 2 załącznika do rozporządzenia Ministra Klimatu z dnia 17 lutego 2020 roku.

Tabela 1. Anteny sektorowe - dane otrzymane od klienta

| Charakterystyka promieniowania | | kierunkowa | | |
|---------------------------------|---|-----------------------------------|------------------|------------------|
| Rzeczywisty czas pracy [h/dobę] | | 24 | | |
| Rodzaj wytwarzanego pola | | stacjonarne | | |
| Lp. | Wyszczególnienie | sektor 1 | sektor 2 | sektor 3 |
| I | Nadajnik stacji bazowej: | | | |
| 1 | Typ / Producent | DBS/RBS / Overlay Huawei/Ericsson | | |
| 2 | Częstotliwość (pasmo) MHz | 900 | 900 | 900 |
| 3 | Maksymalna moc nadawana na sektor [dBm] | 46,72 | 45,91 | 46,72 |
| II | Obciążenie: | | | |
| 1 | Typ anteny | Huawei ATR4518R6 | Huawei A704517R0 | Huawei ATR4518R6 |
| 2 | Producent anteny | Huawei | Huawei | Huawei |
| 3 | Ilość anten | 1 | 1 | 1 |
| 4 | Azymut | 20 | 130 | 260 |
| 5 | Zakres kątów pochylenia anten [°] | 0,00-6,00 | 0,00-6,00 | 0,00-6,00 |
| 6 | Wysokość zainst. n.p.t. [m] | 53,20 | 53,20 | 53,20 |
| 7 | EIRP [W] | 1986 | 1982 | 1986 |

Tabela 2. Anteny radioliniowe - dane otrzymane od klienta

| Charakterystyka promieniowania | | | | kierunkowa | | | |
|---------------------------------|------------------|---------------------------|---------------------|------------------|---------------------|------------|--|
| Rzeczywisty czas pracy [h/dobę] | | | | 24 | | | |
| Rodzaj wytwarzanego pola | | | | stacjonarne | | | |
| Lp. | Linia radiowa | | | Antena | | | |
| | typ/producent | częstotliwość pracy [GHz] | moc wyjściowa [dBm] | typ/producent | średnica anteny [m] | azymut [°] | wysokość zainstalowania n.p.t. [m] (środek elektryczny anteny) |
| 1 | OPTIX RTN/HUAWEI | 80/23 | 18/25 | A23S80S06/Huawei | 0,6 | 326 | 51,00 |

6. Wyniki pomiarów.

Wyniki pomiarów pól elektromagnetycznych dla celów ochrony środowiska przedstawia poniższa tabela. Piony pomiarowe zostały przedstawione w zał. 2.

| Nr PP | Pole-E [V/m] | Pole-E+U [V/m] | Pole-H [A/m] | Pole-H+U [A/m] | Wysokość pomiaru [m] | Współrzędne PP x, y | Opis PP | WM _E | WM _H |
|-------|--------------|----------------|--------------|----------------|----------------------|-------------------------------|--|-----------------|-----------------|
| 1 | 0,9 | 1,41 | 0,002 | 0,004 | 0,3 - 2,0 | 53°36'25.07"N 22°3'48.53"E | otoczenie stacji bazowej wzdłuż gł. osi promieniowania - GKP | 0,051 | 0,051 |
| 2 | 0,8 | 1,25 | 0,002 | 0,003 | 0,3 - 2,0 | 53°36'26.63"N 22°3'49.60"E | otoczenie stacji bazowej wzdłuż gł. osi promieniowania - GKP | 0,046 | 0,046 |
| 3 | 0,7* | 1,25 | 0,002 | 0,003 | 0,3 - 2,0 | 53°36'28.04"N 22°3'50.62"E | otoczenie stacji bazowej wzdłuż gł. osi promieniowania - GKP | 0,046 | 0,046 |
| 4 | 0,7* | 1,25 | 0,002 | 0,003 | 0,3 - 2,0 | 53°36'29.45"N 22°3'51.56"E | otoczenie stacji bazowej wzdłuż gł. osi promieniowania - GKP | 0,046 | 0,046 |
| 5 | 0,7* | 1,25 | 0,002 | 0,003 | 0,3 - 2,0 | 53°36'30.75"N 22°3'52.46"E | otoczenie stacji bazowej wzdłuż gł. osi promieniowania - GKP | 0,046 | 0,046 |
| 6 | 1,0 | 1,57 | 0,003 | 0,004 | 0,3 - 2,0 | 53°36'32.51"N 22°3'53.66"E | otoczenie stacji bazowej wzdłuż gł. osi promieniowania - GKP | 0,057 | 0,057 |
| 7 | 0,8 | 1,25 | 0,002 | 0,003 | 0,3 - 2,0 | 53°36'33.90"N 22°3'54.64"E | otoczenie stacji bazowej wzdłuż gł. osi promieniowania - GKP | 0,046 | 0,046 |
| 8 | 0,8 | 1,25 | 0,002 | 0,003 | 0,3 - 2,0 | 53°36'35.15"N 22°3'55.54"E | otoczenie stacji bazowej wzdłuż gł. osi promieniowania - GKP | 0,046 | 0,046 |
| 9 | 0,8 | 1,25 | 0,002 | 0,003 | 0,3 - 2,0 | 53°36'22.42"N 22°3'49.35"E | otoczenie stacji bazowej wzdłuż gł. osi promieniowania - GKP | 0,046 | 0,046 |
| 10 | 0,7* | 1,25 | 0,002 | 0,003 | 0,3 - 2,0 | 53°36'21.32"N 22°3'51.61"E | otoczenie stacji bazowej wzdłuż gł. osi promieniowania - GKP | 0,046 | 0,046 |
| 11 | 0,7* | 1,25 | 0,002 | 0,003 | 0,3 - 2,0 | 53°36'20.36"N 22°3'53.38"E | otoczenie stacji bazowej wzdłuż gł. osi promieniowania - GKP | 0,046 | 0,046 |
| 12 | 0,7* | 1,25 | 0,002 | 0,003 | 0,3 - 2,0 | 53°36'19.24"N 22°3'55.36"E | otoczenie stacji bazowej wzdłuż gł. osi promieniowania - GKP | 0,046 | 0,046 |
| 13 | 0,7* | 1,25 | 0,002 | 0,003 | 0,3 - 2,0 | 53°36'18.09"N 22°3'57.50"E | otoczenie stacji bazowej wzdłuż gł. osi promieniowania - GKP | 0,046 | 0,046 |
| 14 | 0,7* | 1,25 | 0,002 | 0,003 | 0,3 - 2,0 | 53°36'16.95"N 22°3'59.56"E | otoczenie stacji bazowej wzdłuż gł. osi promieniowania - GKP | 0,046 | 0,046 |
| 15 | 0,8 | 1,25 | 0,002 | 0,003 | 0,3 - 2,0 | 53°36'15.83"N 22°4'1.66"E | otoczenie stacji bazowej wzdłuż gł. osi promieniowania - GKP | 0,046 | 0,046 |
| 16 | 1,0 | 1,57 | 0,003 | 0,004 | 0,3 - 2,0 | 53°36'14.48"N 22°4'4.19"E | otoczenie stacji bazowej wzdłuż gł. osi promieniowania - GKP | 0,057 | 0,057 |
| 17 | 1,1 | 1,72 | 0,003 | 0,005 | 0,3 - 2,0 | 53°36'13.24"N 22°4'6.31"E | otoczenie stacji bazowej wzdłuż gł. osi promieniowania - GKP | 0,063 | 0,063 |
| 18 | 1,0 | 1,57 | 0,003 | 0,004 | 0,3 - 2,0 | 53°36'23.31"N 22°3'44.66"E | otoczenie stacji bazowej wzdłuż gł. osi promieniowania - GKP | 0,057 | 0,057 |
| 19 | 0,7* | 1,25 | 0,002 | 0,003 | 0,3 - 2,0 | 53°36'23.12"N 22°3'42.12"E | otoczenie stacji bazowej wzdłuż gł. osi promieniowania - GKP | 0,046 | 0,046 |
| 20 | 0,7* | 1,25 | 0,002 | 0,003 | 0,3 - 2,0 | 53°36'22.92"N 22°3'39.47"E | otoczenie stacji bazowej wzdłuż gł. osi promieniowania - GKP | 0,046 | 0,046 |
| 21 | 0,7* | 1,25 | 0,002 | 0,003 | 0,3 - 2,0 | 53°36'22.73"N 22°3'36.89"E | otoczenie stacji bazowej wzdłuż gł. osi promieniowania - GKP | 0,046 | 0,046 |
| 22 | 0,7* | 1,25 | 0,002 | 0,003 | 0,3 - 2,0 | 53°36'22.51"N 22°3'34.20"E | otoczenie stacji bazowej wzdłuż gł. osi promieniowania - GKP | 0,046 | 0,046 |
| 23 | 0,7* | 1,25 | 0,002 | 0,003 | 0,3 - 2,0 | 53°36'22.28"N 22°3'31.62"E | otoczenie stacji bazowej wzdłuż gł. osi promieniowania - GKP | 0,046 | 0,046 |
| 24 | 0,7* | 1,25 | 0,002 | 0,003 | 0,3 - 2,0 | 53°36'22.03"N 22°3'28.84"E | otoczenie stacji bazowej wzdłuż gł. osi promieniowania - GKP | 0,046 | 0,046 |
| 25 | 0,7* | 1,25 | 0,002 | 0,003 | 0,3 - 2,0 | 53°36'24.82"N 22°3'46.07"E | otoczenie stacji bazowej wzdłuż gł. osi promieniowania - GKP | 0,046 | 0,046 |
| 26 | 0,7* | 1,25 | 0,002 | 0,003 | 0,3 - 2,0 | 53°36'26.22"N 22°3'44.68"E | otoczenie stacji bazowej wzdłuż gł. osi promieniowania - GKP | 0,046 | 0,046 |

| Nr PP | Pole-E [V/m] | Pole-E+U [V/m] | Pole-H [A/m] | Pole-H+U [A/m] | Wysokość pomiaru [m] | Współrzędne PP x, y | Opis PP | WM _E | WM _H |
|-------|--------------|----------------|--------------|----------------|----------------------|-------------------------------|---|-----------------|-----------------|
| 27 | 0,7* | 1,25 | 0,002 | 0,003 | 0,3 - 2,0 | 53°36'26.99"N 22°3'43.90"E | otoczenie stacji bazowej wzdłuż gł. osi promieniowania - GKP | 0,046 | 0,046 |
| A | 0,7* | 1,25 | 0,002 | 0,003 | 0,3 - 2,0 | 53°36'23.04"N 22°3'46.94"E | ul. Sikorskiego 20, parter, pomiar przy otworze okiennym od zewnątrz - DPP | 0,046 | 0,046 |
| B | 1,0 | 1,57 | 0,003 | 0,004 | 0,3 - 2,0 | 53°36'24.23"N 22°3'44.08"E | ul. Sikorskiego 22b, parter, pomiar przy otworze okiennym od zewnątrz - DPP | 0,057 | 0,057 |
| | 1,2 | 1,88 | 0,003 | 0,005 | 0,3 - 2,0 | | ul. Sikorskiego 22b, piętro I, pomiar na balkonie - DPP | 0,068 | 0,068 |

Wynik pomiaru pole - E [V/m] - maksymalna wartość chwilowa zmierzona w danym pionie pomiarowym (uśredniona na podstawie punktu 11 załącznika do Rozporządzenia Ministra Klimatu z dnia 17 lutego 2020 r. w sprawie sposobów sprawdzania dotrzymania dopuszczalnych poziomów pól elektromagnetycznych w środowisku (Dz.U. 2022 poz. 2630). Zgodnie z pkt. 7 załącznika do Rozporządzenia Ministra Klimatu z dnia 17 lutego 2020 r. w sprawie sposobów sprawdzania dotrzymania dopuszczalnych poziomów pól elektromagnetycznych w środowisku (Dz.U. 2022 poz. 2630) nie stosuje się poprawek pomiarowych.

Przyjęto najniższą dopuszczalną wartość składowej elektrycznej pola dla objętego pomiarami zakresu częstotliwości $\min(ME_{gr}) = 28 \text{ V/m}$ oraz składowej magnetycznej $\min(MH_{gr}) = 0,073 \text{ A/m}$.

* - wartość zmierzona poniżej zakresu akredytacji. Do obliczeń przyjęto wartość zgodną z dolną granicą akredytowanego zakresu pomiarowego metody.

GKP - główne kierunki pomiarowe

PKP - pomocnicze kierunki pomiarowe

DPP - dodatkowe punkty pomiarowe

PP - pion pomiarowy

U - niepewność pomiarowa rozszerzona, przy poziomie ufności 95%, z uwzględnieniem współczynnika rozszerzenia $k=2$

WM_E - wartość wskaźnikowa poziomu emisji pól elektromagnetycznych dla miejsc dostępnych dla ludności dla składowej elektrycznej pola

WM_H - wartość wskaźnikowa poziomu emisji pól elektromagnetycznych dla miejsc dostępnych dla ludności dla składowej magnetycznej pola

7. Stwierdzenie zgodności

Na podstawie wytycznych podanych w Rozporządzeniu Ministra Zdrowia z dnia 17 grudnia 2019 r. w sprawie dopuszczalnych poziomów pól elektromagnetycznych w środowisku (Dz.U. 2019 poz. 2448) oraz sposobów sprawdzania dotrzymania tych poziomów zgodnie z Rozporządzeniem Ministra Klimatu z dnia 17 lutego 2020 r. w sprawie sposobów sprawdzania dotrzymania dopuszczalnych poziomów pól elektromagnetycznych w środowisku (Dz.U. 2022 poz. 2630), dotyczących źródła wymagań, które muszą być spełnione, w oparciu o zasadę podejmowania decyzji zgodną z pkt. 26 Rozporządzenia Ministra Klimatu z dnia 17 lutego 2020 r. (Dz.U. 2022 poz. 2630), na podstawie wyników pomiarów pól elektromagnetycznych wykonanych w dniu 29.04.2024 stwierdzono, że wszystkie wyniki przeprowadzonych pomiarów w danym obszarze pomiarowym oraz wyznaczone na tej podstawie wskaźniki WME oraz WMH są mniejsze od wartości dopuszczalnych – zgodnie z przepisami wydanymi na podstawie art. 122 ust. 1 ustawy z dnia 27 kwietnia 2001 r. – Prawo ochrony środowiska – załącznikiem do Rozporządzenia Ministra Klimatu i Środowiska z dnia 17 lutego 2020 r. w sprawie sposobów sprawdzania dotrzymywania dopuszczalnych poziomów pól elektromagnetycznych w środowisku (Dz.U. 2022 poz. 2630, pkt 26).

8. Oświadczenie.

Wyniki badania odnoszą się wyłącznie do badanego obiektu.

Bez pisemnej zgody sprawozdanie nie może być powielane inaczej, jak tylko w całości.

Uwagi i zastrzeżenia przyjmowane są w formie pisemnej.

9. Spis załączników.

Zał. 1. Lokalizacja obiektu.

Zał. 2. Widok pionów pomiarowych.

Zał. 3. Widok stacji bazowej.

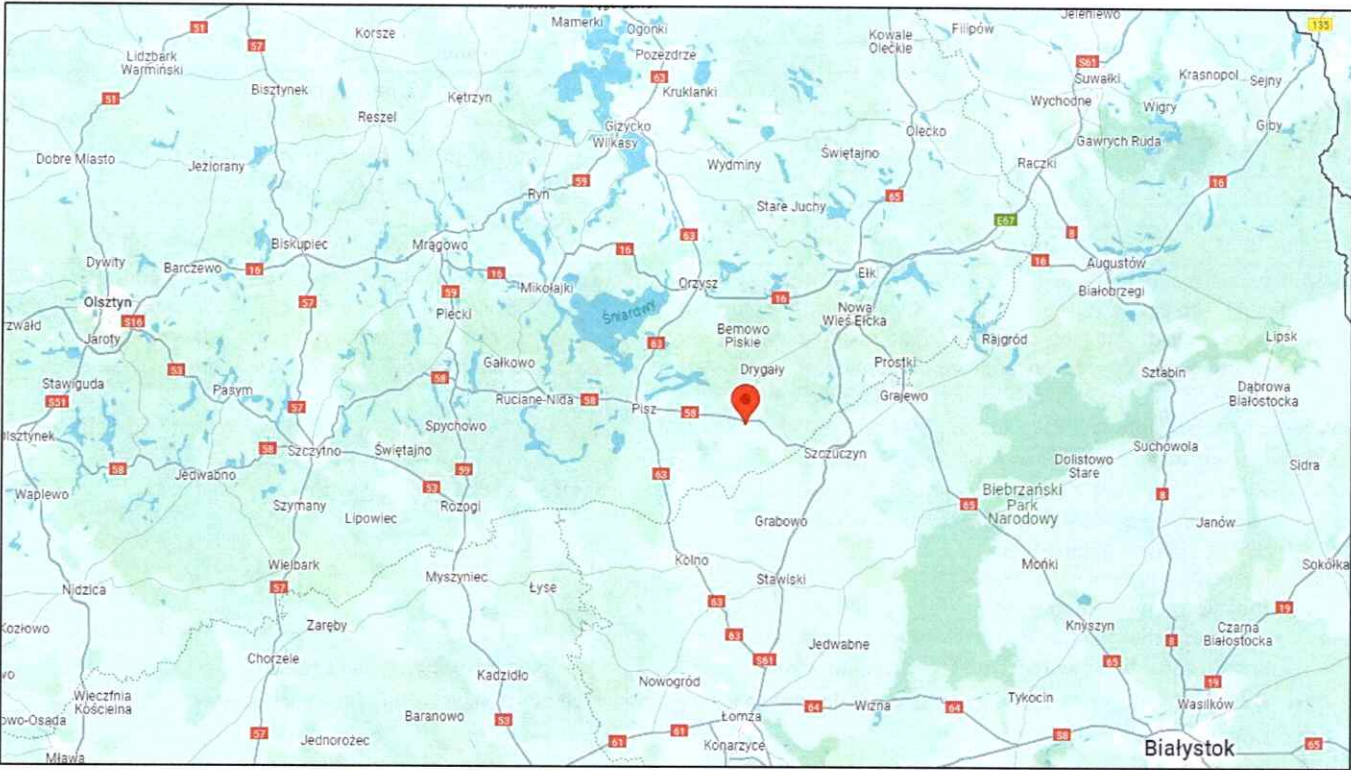
Koniec sprawozdania

„Bez pisemnej zgody Laboratorium niniejsze sprawozdanie nie może być powielane inaczej, jak tylko w całości. Ponadto wyniki dotyczą tylko badanych obiektów przywołanych w niniejszym sprawozdaniu z badań”

29/04/OŚ/2024-P4

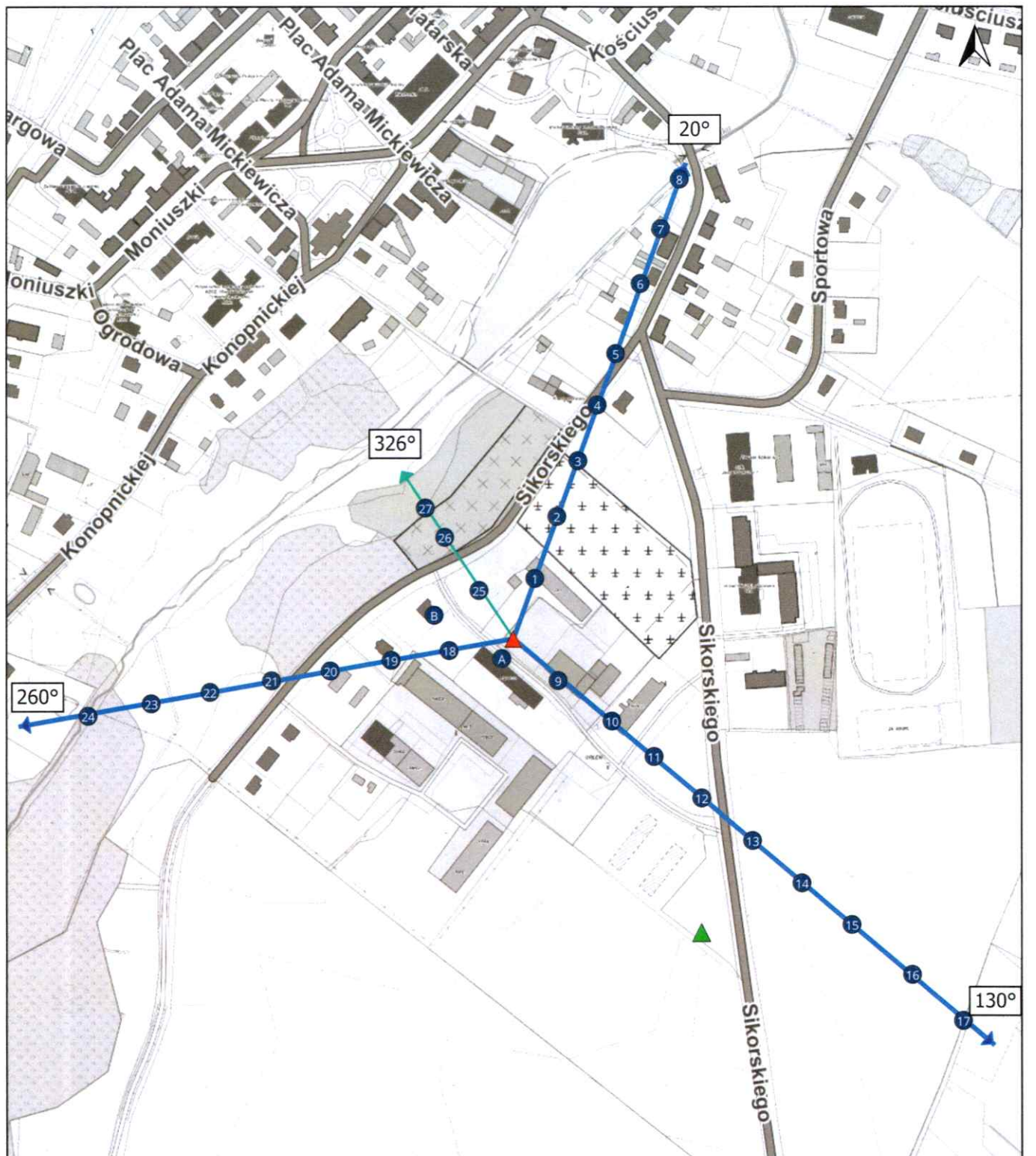
Strona 7 z 10

Zał. 1. Lokalizacja obiektu



| Współrzędne geograficzne | |
|--------------------------|---------------|
| szerokość: | 53°36'23.54"N |
| długość: | 22°03'47.48"E |

Załącznik 2. Widok pionów pomiarowych



LEGENDA:

- pion pomiarowy
- ▲ inna instalacja radiokomunikacyjna
- ▲ instalacja radiokomunikacyjna dla której wykonano pomiar
- antena sektorowa
- antena radioliniowa
- brak dostępu

0 75 150 m

Skala: 1:4500

Załącznik 3. Załączniki graficzne

